



# ОЦЕНКА РАЗНОТЯГОВОСТИ ТУРБОРЕАКТИВНЫХ ДВУХКОНТУРНЫХ ДВИГАТЕЛЕЙ ДВУХДВИГАТЕЛЬНОГО САМОЛЁТА, ОБУСЛОВЛЕННОЙ РАЗНИЦЕЙ ЧАСТОТ ВРАЩЕНИЯ ИХ РОТОРОВ

Продолжение темы. Начало в №5 и №6 за 2018 г.

"Московский авиационный институт (национальный исследовательский университет)" (МАИ)  
**Аделя Юрьевна Бузова**, старший преподаватель  
**Юрий Михайлович Кочетков**, д.т.н.

Рассмотрены вопросы, связанные с оценкой разнотяговости турбореактивных двухконтурных двигателей силовой установки двухдвигательного самолёта в полёте с несимметричной тягой. Формализованы принципы пошаговой оценки разнотяговости этих двигателей по измеряемым значениям частот вращения их роторов при взлёте самолёта и наборе им высоты.

The issues related to the assessment of the thrust asymmetry of turbojet two-circuit engines of the power plant of a twin-engine aircraft in flight with asymmetric thrust are considered. The principles of step-by-step evaluation of the thrust asymmetry of these engines on the measured values of the rotation frequencies of their rotors during takeoff and climb are formalized.

**Ключевые слова:** турбореактивный двухконтурный двигатель, тяга, разнотяговость, частота вращения ротора низкого давления, частота вращения ротора высокого давления.

**Keyword:** turbojet two-circuit engine, thrust, thrust asymmetry, low pressure rotor speed, high pressure rotor speed.

Согласно программам управления турбореактивными двухконтурными двигателями (ТРДД) силовых установок (СУ) среднемагистральных самолётов (СМС) и дальнемагистральных самолётов (ДМС) по частоте вращения ротора низкого давления (РНД)  $n_1 \pm \delta n_1 = const$ , как, например, у Airbus A-310 с двигателями фирмы "General Electric", и частоте вращения ротора компрессора высокого давления (КВД)  $n_2 \pm \delta n_2 = const$ , как, например, у Airbus ИЛ-96-300 с ТРДД ПС-90А, разнотяговость ТРДД можно и должно оценивать, вводя в систему автоматического управления (САУ) СУ СМС и ДМС специальные поправки частот вращения роторов их ТРДД  $\delta n_1 = C_1 dn_1/dt$ ,  $\delta n_2 = C_2 dn_2/dt$  и анализируя соотношение частот вращения РНД ТРДД таких СУ  $n_1$  с учётом поправок  $C_1 dn_1/dt$  и соотношение частот вращения роторов КВД  $n_2$  тех же ТРДД с учётом поправок  $C_2 dn_2/dt$  [1-5]. Величина поправок  $C_1 dn_1/dt$  и  $C_2 dn_2/dt$  обусловлена техническим состоянием этих ТРДД, от динамических свойств которых зависят числовые значения "весовых" коэффициентов  $C_1$  и  $C_2$  [1,2]. Оценивать уровень  $DR$  разнотяговости ТРДД СУ двухдвигательного самолёта в полёте можно и должно сравнительным анализом силы тяги  $R$  его двигателя, у которого частоты вращения роторов  $n_1$  и  $n_2$ , а их поправки  $C_1 dn_1/dt$  и  $C_2 dn_2/dt$  и силы тяги  $R^*$  другого двигателя, у которого частоты вращения роторов  $n_1^*$  и  $n_2^*$ , а их поправки  $C_1^* dn_1^*/dt$  и  $C_2^* dn_2^*/dt$  [1,2,5].

## Результаты исследования и их обсуждение

Принципы пошаговой оценки разнотяговости ТРДД СУ двухдвигательного самолёта по измеряемым значениям частот вращения их роторов при взлёте и наборе высоты на  $1$ -м и  $(i+1)$ -х шагах автоматического контроля значений разнотяговости этих ТРДД  $(DR)_i$  и  $(DR)_{i+1}$ , соответственно, в зависимости от значений силы тяги  $(R)_i$ , частоты вращения РНД  $(n_1)_i$  и частоты вращения ротора КВД  $(n_2)_i$  одного из его двигателей с учётом поправок  $C_1 (dn_1/dt)_i$  и  $C_2 (dn_2/dt)_i$  и значений силы тяги  $(R^*)_i$ , частоты вращения РНД  $(n_1^*)_i$  и частоты вращения ротора КВД  $(n_2^*)_i$  другого двигателя с учётом поправок  $C_1^* (dn_1^*/dt)_i$  и  $C_2^* (dn_2^*/dt)_i$  можно и должно формализовать в виде рекуррентных разностных уравнений с коэффициентами  $J_1$  и  $J_2$ , полагая, что  $i=1,2,3...I_{TAKEOFF}-1$ ;  $(n_1)_{i+1}=(n_1)_i + C_1 (dn_1/dt)_i$  при  $(n_1)_1=(n_1)_0 + C_1 (dn_1/dt)_0 = n_{1test} + 0 = n_{1test}$  и  $C_1 (dn_1/dt)_0 = 0$ ;

$(n_1^*)_{i+1}=(n_1^*)_i + C_1^* (dn_1^*/dt)_i$  при  $(n_1^*)_1=(n_1^*)_0 + C_1^* (dn_1^*/dt)_0 = n_{1test}^* + 0 = n_{1test}^*$  и  $C_1^* (dn_1^*/dt)_0 = 0$ ;

$(n_2)_{i+1}=(n_2)_i + C_2 (dn_2/dt)_i$  при  $(n_2)_1=(n_2)_0 + C_2 (dn_2/dt)_0 = n_{2test} + 0 = n_{2test}$  и  $C_2 (dn_2/dt)_0 = 0$ ;

$(n_2^*)_{i+1}=(n_2^*)_i + C_2^* (dn_2^*/dt)_i$  при  $(n_2^*)_1=(n_2^*)_0 + C_2^* (dn_2^*/dt)_0 = n_{2test}^* + 0 = n_{2test}^*$  и  $C_2^* (dn_2^*/dt)_0 = 0$ ;

$n_{1test}$ ,  $n_{1test}^*$ ,  $n_{2test}$ ,  $n_{2test}^*$  - значения частот вращения роторов этих двигателей, замеренные на заводских горячих стендах в условиях серийного производства таких ТРДД, [1, 2]:

$$(DR)_{i+1} = (R)_{i+1} - (R^*)_{i+1} = [J_1(n_1)_{i+1}^2 + J_2(n_2)_{i+1}^2] - [J_1(n_1^*)_{i+1}^2 + J_2(n_2^*)_{i+1}^2] =$$

$$= J_1[(n_1)_i + C_1(dn_1/dt)_i]^2 - J_1[(n_1^*)_i + C_1^*(dn_1^*/dt)_i]^2 + J_2[(n_2)_i + C_2(dn_2/dt)_i]^2 -$$

$$- J_2[(n_2^*)_i + C_2^*(dn_2^*/dt)_i]^2 = J_1\{[(n_1)_i]^2 + 2C_1(n_1)_i(dn_1/dt)_i + 2(C_1)^2(dn_1/dt)_i^2 -$$

$$- (C_1)^2(dn_1/dt)_i^2 - (n_1^*)_i^2 - 2C_1^*(n_1^*)_i(dn_1^*/dt)_i - 2(C_1^*)^2(dn_1^*/dt)_i^2 +$$

$$+ (C_1^*)^2(dn_1^*/dt)_i^2\} + J_2\{(n_2)_i^2 + 2C_2(n_2)_i(dn_2/dt)_i + 2(C_2)^2(dn_2/dt)_i^2 -$$

$$- (C_2)^2(dn_2/dt)_i^2 - (n_2^*)_i^2 - 2C_2^*(n_2^*)_i(dn_2^*/dt)_i - 2(C_2^*)^2(dn_2^*/dt)_i^2 +$$

$$+ (C_2^*)^2(dn_2^*/dt)_i^2\} = \{J_1[(n_1)_i^2 - (n_1^*)_i^2] + J_2[(n_2)_i^2 - (n_2^*)_i^2]\} +$$

$$+ 2J_1\{C_1(dn_1/dt)_i[(n_1)_i + C_1(dn_1/dt)_i] - C_1^*(dn_1^*/dt)_i[(n_1^*)_i + C_1^*(dn_1^*/dt)_i]\} +$$

$$+ 2J_2\{C_2(dn_2/dt)_i[(n_2)_i + C_2(dn_2/dt)_i] - C_2^*(dn_2^*/dt)_i[(n_2^*)_i + C_2^*(dn_2^*/dt)_i]\} -$$

$$- J_1\{[C_1(dn_1/dt)_i]^2 - [C_1^*(dn_1^*/dt)_i]^2\} -$$

$$- J_2\{[C_2(dn_2/dt)_i]^2 - [C_2^*(dn_2^*/dt)_i]^2\} = (DR)_i + (\delta DR)_i$$
 при  $i=1,2,3...I_{TAKEOFF}-1$ ; (5)

$$(DR)_1 = (R)_1 - (R^*)_1 = [J_1(n_1)^2 + J_2(n_2)^2] - [J_1(n_1^*)^2 + J_2(n_2^*)^2] =$$

$$= J_1[(n_1)_0 + C_1(dn_1/dt)_0]^2 - J_1[(n_1^*)_0 + C_1^*(dn_1^*/dt)_0]^2 + J_2[(n_2)_0 + C_2(dn_2/dt)_0]^2 -$$

$$- J_2[(n_2^*)_0 + C_2^*(dn_2^*/dt)_0]^2 = J_1[(n_1)_0^2 - (n_1^*)_0^2] =$$

$$= J_1[(n_{1test})^2 - (n_{1test}^*)^2] + J_2[(n_{2test})^2 - (n_{2test}^*)^2]$$

при  $(dn_1/dt)_0 = (dn_1^*/dt)_0 = (dn_2/dt)_0 = (dn_2^*/dt)_0 = (\delta DR)_1 = 0$ . (6)

Если при взлёте и наборе высоты число шагов автоматического контроля разнотяговости ТРДД СУ двухдвигательного самолёта не превышает максимального числа таких шагов  $I_{TAKEOFF} > i \geq 1$ , то оценивать значения разнотяговости этих двигателей  $(DR)_i$  и её поправки  $(\delta DR)_i$  на  $i$ -х шагах такого контроля можно и должно пошагово сравнением измеряемых значений частот вращения РНД этих же двигателей  $(n_1)_i$  и  $(n_1^*)_i$  с учётом поправок  $C_1 (dn_1/dt)_i$  и  $C_1^* (dn_1^*/dt)_i$  и пошагово

Целью исследования является формализация принципов пошаговой оценки разнотяговости ТРДД СУ двухдвигательного самолёта по измеряемым значениям частот вращения их роторов при взлёте и наборе высоты.

## Материал и методы исследования

Материалом исследования являются измеряемые значения частот вращения РНД и роторов КВД однотипных ТРДД. Методами исследования являются методы минимизации разнотяговости и асимметрии тяги однотипных ТРДД в многомерной постановке задачи контроля и компенсации их разнотяговости и асимметрии тяги по двум параметрам тяги ТРДД [5, 6].

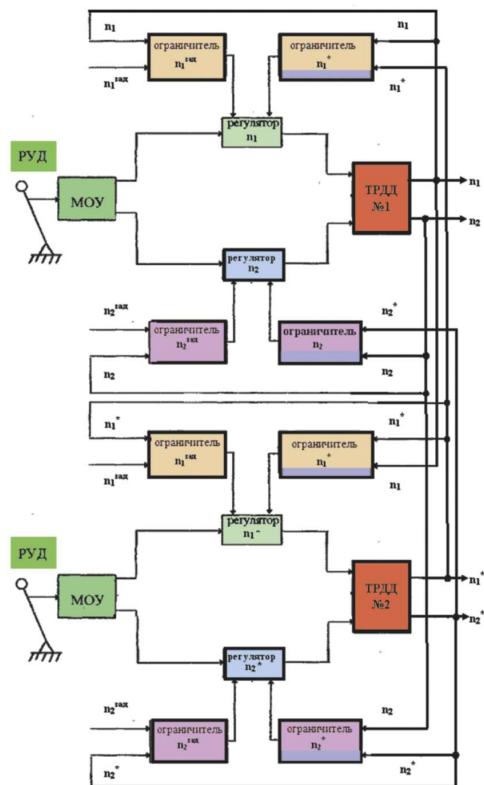


Рисунок 1 - Предлагаемая функциональная схема управления ТРДД двухдвигательного самолёта

вым сравнением измеряемых значений частот вращения роторов КВД тех же двигателей ( $n_{2j}$  и  $(n_2^*)_j$ ) с учётом поправок  $C_2(dn_2/dt)_j$  и  $C_2^*(dn_2^*/dt)_j$  одновременно.

Взаимосвязи частот вращения РНД и роторов КВД отображены на функциональной схеме управления ТРДД двухдвигательного самолёта, приведенной на рисунке 1, где МОУ - механизм объединенного управления агрегатами автоматики, РУД - рычаг управления двигателем,  $n_{1зад}$  - заданное значение частоты вращения РНД,  $n_{2зад}$  - заданное значение частоты вращения ротора КВД.

Предложенная формализация принципов пошаговой оценки разнотяговости ТРДД СУ двухдвигательного самолёта по измеряемым значениям частот вращения их роторов при взлёте и наборе высоты может и должна обеспечить автоматический контроль разнотяговости двигателей такого самолёта путём ввода в САУ его СУ специальных поправок частот вращения роторов её ТРДД и анализа измеряемых значений этих частот с учётом их поправок. Такая формализация является дальнейшим развитием идеи контроля и минимизации разнотяговости и асимметрии тяги одноципных ТРДД в многомерной постановке задачи контроля и компенсации их разнотяговости и асимметрии тяги. Применение программной и (или) аппаратной реализации полученных формул пошаговой оценки разнотяговости ТРДД СУ двухдвигательного самолёта в САУ СУ СМС или ДМС способствует повышению безопасности полёта такого самолёта за счёт автоматического контроля разнотяговости двигателей его СУ по результатам сравнительного анализа измеряемых значений частот вращения РНД её ТРДД с учётом поправок этих частот и результатам сравнительного

анализа измеряемых значений частот вращения роторов КВД тех же ТРДД с учётом поправок этих частот одновременно. **П**

**Литература**

1. Бурова А.Ю., Кочетков Ю.М. Контроль разнотяговости турбореактивных двухконтурных двигателей двухдвигательного самолёта при появлении разницы частот вращения их роторов // Двигатель. - 2018. - № 6 (120). - С. 8-9.
2. Бурова А.Ю., Кочетков Ю.М. Формализация зависимости разнотяговости турбореактивных двухконтурных двигателей двухдвигательного самолёта, возникающей от разницы частот вращения их роторов // Двигатель. - 2018. - № 5 (119). - С. 28-29.
3. Галлай М.Л. Полёт самолета с неполной и несимметричной тягой. - М.: Машиностроение, 1970. - 192 с.
4. Дворниченко В.В. Методология решения проблемных вопросов технической и лётной эксплуатации самолётов ГА и их ТРДД на стандартном и криогенных топливах с минимизацией "разнотяговости" ТРДД "на крыле": дис. ... докт. техн. наук. - М., 2006. - 627 с.
5. Дворниченко В.В., Бурова А.Ю. Глубокое тестирование турбореактивных двигателей методами математической статистики для повышения их соответствия нормативам ICAO // Вестник Московского авиационного института. - 2011. - Т. 18, № 3. - С. 116-127.
6. Новичков В.М., Бурова А.Ю. Применение ТРДД на ЛА с минимизацией "разнотяговости" для повышения безопасности полётов // Фундаментальные исследования. - 2015. - № 11 (часть 7). - С. 1343-1351.

Связь с авторами: frambe@mail.ru

**В ИЗМЕНЕНИЕ НАПЕЧАТАННОГО**

На странице 10 прошлого, 120-го номера журнала "Двигатель" была опубликована статья В.В. Чобитка, поднимающая, как показалось редакции, интересную тему: **Определения ГОСТ и терминология в ГТД**. Актуальность темы нам виделась настолько значительной: стандартизирующие документы, действительно, сильно отстали от существующих реалий, что мы, с позволения автора, дали к статье подзаголовок **Критические замечания практикующего инженера** (поскольку как раз ко-го-кого, а уж практикующих инженеров у нас в редакции и редакционном совете предостаточно), позволили себе несколько подкорректировать отдельные положения, высказанные автором - некоторым образом несогласуемые с практикой двигателестроения. И, хотя автор и дал согласие на наши правки, прочитав статью целиком в журнале, он решил, что она неверно подаёт его собственные замыслы и идеи.

Мы никогда не практиковали таких вещей, но в этот раз решили отойти от наших обычаев и, практически БЕЗО ВСЯКИХ КОММЕНТАРИЕВ дали предложенные автором правки ( в сравнении с текстом статьи), поскольку убедить автора в неправоте посредством переписки не удалось. **Так что, смотрите. П**

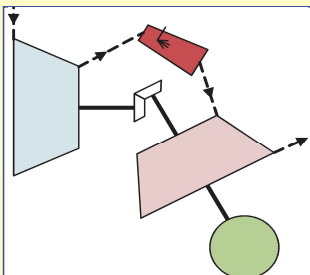


Рисунок 2 - Также одновалный ГТД  
Важно понимать, что считается не число наличных в конструкции валов как таковых (на схеме - два вала), а сколько в ней независимых каскадов турбокомпрессоров

**ВЕРСИЯ АВТОРА**  
Рисунок 2. Важно понимать, что считается не число наличных в конструкции валов как таковых (на схеме два вала), а сколько в ней независимых каскадов турбин.

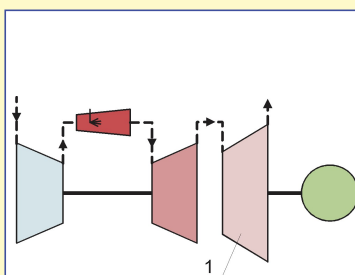


Рисунок 4 - Одновалный ГТД со свободной силовой турбиной и однокаскадным компрессором  
1 - свободная силовая турбина с отдельным валом и отбором мощности

**ВЕРСИЯ АВТОРА**  
Рисунок 4. Двухвалный ГТД со свободной силовой турбиной и однокаскадным компрессором  
Примечание: к этой схеме относятся ГТД-350, ГТД-350Т (СССР), Boeing Model 502-10МА (США)

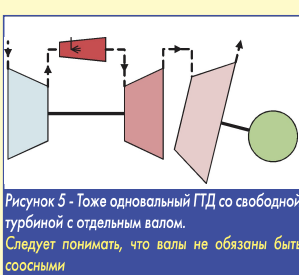


Рисунок 5 - Также двухвалный ГТД  
Следует понимать, что валы не обязаны быть соосными

**В СТАТЬЕ**  
При этом лучше пользоваться не "числом турбин" а "количеством турбокомпрессорных групп". Чтобы не включать в это рассмотрение свободные турбины. О них - чуть далее.

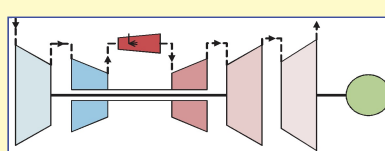


Рисунок 6 - Двухвалный ГТД со свободной силовой турбиной и двухкаскадным компрессором на отдельном валу

**ВЕРСИЯ АВТОРА**  
Рисунок 6. Трёхвалный ГТД со свободной силовой турбиной и двухкаскадным компрессором  
Примечание: к этой схеме относятся танковые ГТД-1000Т (СССР), AGT1500 (США)

**ВЕРСИЯ АВТОРА**  
-

**В СТАТЬЕ**  
[К слову, надо заметить, что реальных конструкций, в которых существуют турбокомпрессорные группы с числом валом более трёх, пока не наблюдались, так что спор о классификации имеет скорее теоретический характер, не более. Прим. Ред.]

**ВЕРСИЯ АВТОРА**  
Автор считает, что "число валов турбокомпрессорной группы" и "число валов ГТД" - разные понятия, первое при классификации ГТД определяется терминами "одно-" и "многокаскадный компрессор", второе - "одно-" и "многовалный ГТД" (с указанием числа каскадов и валов для конкретной конструкции). Примером четырёхвального двигателя может служить ГТУ НК-36СТ с трёхкаскадным компрессором (тремя турбокомпрессорными группами)

Связь с автором: chobitok@gmail.com